

Turbulence compressible

Korayannay : "acoustique" \Rightarrow "pressure-induced" density fluctuations
 "Entropic" \Rightarrow "temperature-induced" density fluctuations.

Huerre et al, 1995: transition à la turbulence peut être fortement impactée
 (EU-TAN, Sympo Marseille) par les variations de masse volumique.

Pour une couche de mélange: Eq d'évolution de ~~l'énergie cinétique~~: l'énergie cinétique

$$\frac{1}{2} \frac{d\langle e \rangle}{dt} = \sigma \langle e \rangle + 2 \langle e' \rangle^2$$

coefficient de Landau

amplification temporelle linéaire.

Eas isotherme: dynamique à long terme donne lieu à une bifurcation supercritique. lorsque le nombre d'onde amplifié passe par sa valeur neutre ($2 < 0$)

Eas non-isotherme: bifurcation sous-critique ($2 > 0$), dès lors que la différence de température est suffisante ($T_c - T_\infty = 98$)

Pour un jet libre: Un jet libre sans différence de masse volumique est très sensible à des perturbations de faible amplitude, et des régions d'instabilité absolue se forment proche injection.

Le jet libre, pour lequel la masse volumique est plus faible que l'environnement ambiant, est absolument instable.

La variation de masse volumique pilote alors directement les modèles d'oscillation global(ou)

suite, p. 14: pour couches de mélange, et jets, il y a peut devenir importante même à faible num. de Reynolds
 moyenne de Saut, et de Reynolds devient importante.

2.3: Effets de densité, compressibilité en turbulence homogène

Le jet libre, sans différence de masse volumique, est convectivement instable.

2.3.2

Turbulence homogène et flottabilité

Considérez une accélération constante (gravitation). Une inhomogénéité de masse volumique joue le rôle de terme source d'E potentiel, convertie en E cinétique pour un fluide en mouvement. Du mélange se développe alors, les gradients de masse volumique sont réduits, et p tend à s'homogénéiser.

L'augmentation du density ratio en THi tend à réduire la production d'énergie cinétique. Ceci est lié au fait qu'une part de l'E potentielle disponible n'est en fait pas convertie en TKE, mais en flux turbulent de masse.

2.3.3 Turbulence isotrope compressible (comprimée)

Turbulence isotrope, dans un volume initial L_0^3 , sujet à une taux de déformation :

$$\frac{\partial \bar{u}_i}{\partial x_j} = \begin{pmatrix} S_1(t) & 0 & 0 \\ 0 & S_2(t) & 0 \\ 0 & 0 & S_3(t) \end{pmatrix}$$

avec $S_i(t) = \frac{V}{X_i(t)}$, où V est la vitesse de compression, et $X_i(t)$ est la longueur de la boîte.

Compression isotrope: $S_1 = S_2 = S_3(t) = S(t)$. Conservation de la masse (moyenne):

$$\langle \rho \rangle(t) \cdot X(t)^3 = \rho_0 L_0^3$$

Compression adiabatique, et gaz parfait:

$$\frac{\langle \gamma \rangle(t)}{\gamma_0} = \left(\frac{\langle \rho \rangle(t)}{\rho_0} \right)^{\frac{1}{\gamma-1}} \quad \text{et} \quad \langle P \rangle(t) = \langle \rho \rangle R \langle T \rangle(t).$$

Considérons boîte de THi, soumise à une compression isotrope. Soit σ le paramètre de déformation $\sigma = e^{-\int_{t_0}^t S(t') dt'}$.

$$\langle k \rangle = \frac{1}{2} \langle u_i' u_j' \rangle$$

$$t = \frac{d}{v}$$

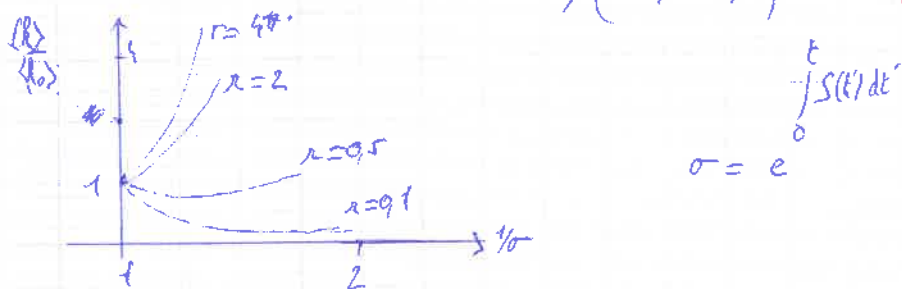
$$\text{Reynold's number: } Re = \frac{q^2}{\epsilon L}$$

$$\text{avec } q^2 = 2 \langle h \rangle = \langle u_i' u_i' \rangle$$

$$\epsilon = \left(\frac{\partial u_i'}{\partial x_j} \frac{\partial u_i'}{\partial x_j} \right)$$

$$S = \frac{L}{X}$$

Considérons différentes valeurs de ratio entre les temps caractéristiques turbulents et de déformation moyen $\alpha = \frac{LS/q^2}{\epsilon} = \frac{LS \langle u_i' u_i' \rangle}{\epsilon}$.
 $\alpha = 4T_f (\epsilon + \text{rapide}) \rightarrow \alpha = 0,1$ (peut).
Pour un moteur à combustion interne, ($\alpha = 0,5 \rightarrow 0,05$)



La compression isotrope agit à l'encontre de la décroissance (de la dissipation). Lorsque le taux de compression est suffisant, le champ turbulent est immédiatement affecté par la déformation moyenne. Lorsque la déformation est faible ($\alpha = 0,1$), la TKE décroît, puis se stabilise.

2.3.4

Turbulence homogène isotrope compressible.

En THI incompressible, la TKE évolue en spirale (vers les petits nombres d'onde) et en magnitude (réduit à 0 par dissipation visqueuse)

En THI compressible, les fluctuations de masse volumique et de pression influencent l'évolution temporelle de TKE. (Passat-Pouquet, 1987 (OVS)). Cette évolution temporelle dépend de:

- Nt initial. (Nach number turbulent). $Nt = \frac{\sqrt{u_i' u_i'}}{\sqrt{(8RT)}}$
- ρ' (ou P') initial

- Le ratio d'énergie cinétique compressible sur l'énergie cinétique totale:

$$\chi = \frac{\langle u_i'^c u_i'^c \rangle}{\langle u_i'^c u_i'^c \rangle + \langle u_i'^I u_i'^I \rangle}$$

Le ^{taux de} décroissance de l'énergie cinétique turbulente augmente un peu avec le Nt, turbulent Nt .

$$P = \rho R T$$

$$H = \frac{u}{c} = \frac{u}{\sqrt{R T}}$$

$$\Delta u^2 = \frac{u^2}{8 T}$$

$$P = \rho \frac{u^2}{8 \pi r^2}$$

Rôle des fluctuations thermodynamique P' , ρ' , T' sur la décroissance de la TKE est plus difficile à analyser.

Sans considérer la conduction de chaleur, Sarkar et al (JFM 1991) montrent que la fluctuation de pression se décompose :

$$\left\{ \begin{array}{l} P' = P^{(I)} + P^{(C)} \\ u' = u^{(I)} + u^{(C)} \end{array} \right.$$

Poisson équation
(Elliptique)

Wave équation
(Hyperbolique)

$P^{(I)}$ est de l'ordre de 10^5

$$\langle (P^{(C)})^2 \rangle \simeq X f^2 n t^2 \quad (2.3)$$

Ainsi, si l'on néglige la conduction (faibles T' initial comparées à P' initiales)
la fluctuation de pression P' dépend fortement de ~~X~~ X , pour tout $n t$

Lorsque les fluctuations de température ne sont plus négligeables:

Eai et al.
POF 1997

. Pour $X \ll 1$: Turbulence quasi-incompressible -

$$\bullet T' = O(n t) \quad \bullet P' = O(n t^2)$$

$X_0 \approx 0$ Matrice volumique et températures fluctuations anti-correlées : $\bullet f'_p = - \frac{T'}{T}$

Pour $X \approx 0,5$: équirépartition statistique de l'énergie entre les contributions de vorticité et de compression.

Pour $X \approx 1$: Turbulence accoustique, dominée par les modes de compression.

$$\text{Corrélation matrice volumique - pression : } \left[\frac{P'}{P} = \gamma f_p \right]$$

$$\left. \begin{array}{l} n t_0 = \alpha t \\ X_0 = 1 \end{array} \right\}$$

. Pas de corrélation ρ'/T'

ρ' et T' sont initialement anticorrelées, deviennent non correlées après 2 temps de retournement.

2.3.3 Couches de mélange compressibles (Voir aussi Vadrot)

Le growth rate de l'énergie cinétique est réduit avec la compressibilité.

Blaisdell et al. (JFM 1987) l'expliquent par le taux de dissipation due à la dissipation dilatation

$$\bar{E}_d = \frac{2}{3} \bar{\rho} \frac{\bar{\Omega}^2}{\bar{p}}$$

et à la corrélation $\bar{p}'\bar{\Omega}'$ avec $\bar{\Omega}' = \frac{\partial u_i'}{\partial x_i}$ divergence du champ de vitesse fluctuante.

Rof 1990

Le taux de dissipation de dilatation est introduit par Zeman, pour la présence de eddy-shocklets.

Sarkar et al. (JFM 1991) introduisent un concept similaire, la dissipation compressible

$$\bar{E} = \bar{E}_s + \bar{E}_d$$

$$\left[\bar{E}_s = \bar{\rho} \bar{\epsilon}_s = \bar{\rho} \bar{w}_k' \bar{w}_k' \right]$$

sténodiale

$$\left[\bar{E}_d = \bar{\rho} \bar{\epsilon}_d = \frac{2}{3} \bar{\rho} \bar{\Omega}'^2 \right]$$

dilatationnelle

Sarkar (1992) : la covariance $\bar{p}'\bar{\Omega}'$ est plus importante que \bar{E}_d (dissipation dilat°)

Ristorcelli montre que $\bar{p}'\bar{\Omega}'$ dépend du type d'écoulement.

JFM 1997

Dans une couche de mélange compressible homogène, le tenseur de Reynolds est anisotrope; avec une valeur plus ou moins constante de $b_{12} = \frac{\bar{u}''v''}{2\bar{k}}$, avec $\bar{u}_i'' = \bar{u}_i - \bar{u}$ et $\bar{k} = \frac{1}{2} \bar{u}_i'' \bar{u}_i'' = \frac{1}{2} \frac{\bar{u}'' \bar{u}''}{\bar{\rho}}$

2.3.4 Echos/turbulence interactions

Ridder (1953, 1954) étudie interaction d'un ^{unique} voilex avec un choc. Etude analytique du bruit émis. Introduit une analyse linéaire (Linear Interaction Analysis, LIA) en considérant séparément les 3 modes de Kovagnay. 1^{er} DNS par Lee, Ide, Doin (1990, 1991)

La TKE est fortement amplifiée au passage du choc. lorsque n'importe quelle onde de Kovagnay rencontre le choc, une triade des 3 modes est générée, dont l'amplitude dépend des valeurs amont, et d'une fonction de transfert.

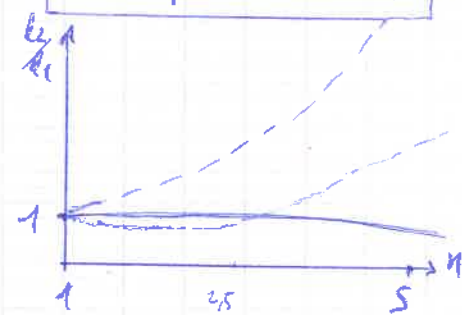
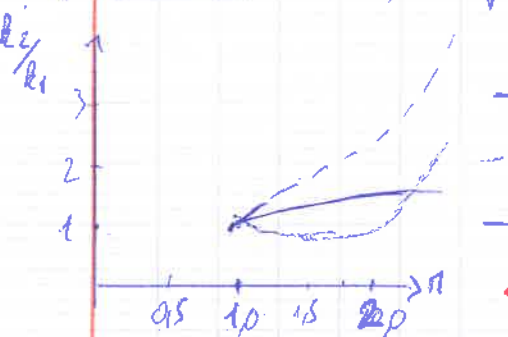
1^{er} expès par

S.Bard JFM 1956

Lorsque l'amplitude de TKE upstream est faible, régime linéaire, le choc n'est pas distordu. Interactions indépendante des flux avec le choc. On peut en déduire les caractéristiques statistiques en aval du choc.

On considère 3 types d'ondes incidentes :

- solénoidale : (vertical mode)
- acoustique : $\frac{f_p'}{f_p} = \delta \frac{f'}{f}$ et $\frac{\delta}{T} = (\gamma - 1) f_p'$: fluctuations isentropiques.
- Combinée : Morkovin, Strong Reynolds Analogy : $\frac{\delta}{T} = - f' = - (\gamma - 1) H^2 \frac{u'}{u}$



(\Rightarrow besoin d'un modèle à la Yoshizawa pour liquide ? (voir aussi Vedral)).

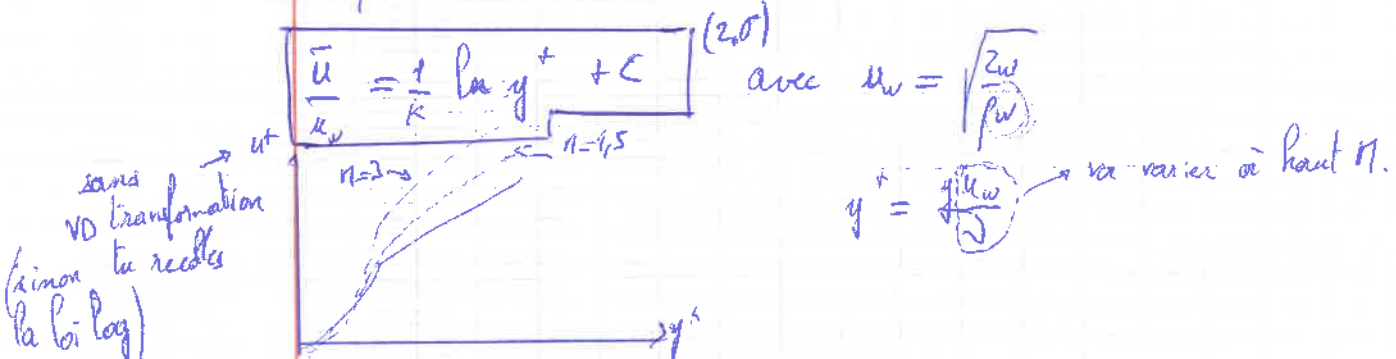
(Taylor, échelles intégrales)

Toutes les échelles caractéristiques de la turbulence décroissent derrière le choc, à l'exception de dissipation de Batchelor. $f_E^{-5/2}$, qui pour des chocs à $H \gg 1$

Spectres d'énergie avant/après choc (voir p. 31). Le produit "vitesse x nbr d'onde" préserve l'invariance des fréquences avant/après choc. Ainsi, le spectre post-shock est exprimé en fonction du spectre pré-shock. Les plus petites échelles sont plus amplifiées que les + grandes.

2.4 Effets de densité/compressibilité en turbulent shear layer

2.4.1 Compressible couches limites



A Mach élevé, la dissipation visqueuse ne peut plus être négligée dans l'équation d'enthalpie. Des niveaux de dissipation élevés proche paroi se développent, menant des gradients de température élevés, responsables à leur tour d'effets de faible masse volumique, et forte viscosité proche paroi.

Dissipation heating: $\frac{T_w}{T_\infty} = 1,9 \text{ à } \eta = 2,2$ (Zel, CTR 1993)
 $= 4,7 \text{ à } \eta_0 = 4,5$
 $= 20 \text{ à } \eta_0 = 10$

La couche limite s'épaissit, ainsi que la région dominante de la contribution visqueuse au frottement.

La dépendance en T de la viscosité est prise en compte dans le scaling de la couche visqueuse uniquement. Le scaling de la région pleinement turbulente dépend directement des effets de densité (ou température).

- En incompressible, on n'a qu'une seule échelle de temps: $T = \left(\frac{\partial u}{\partial y} \right)^{-1} \approx \frac{y^+}{u_\infty}$
- En compressible, 2 échelles de temps: $*T \approx \frac{y^+}{u_\infty} \times \mu^*(T^*)$

$$*T^* \approx \frac{y^+}{u_\infty} \times \mu^*(T^*)$$

	y^+	1-couche visqueuse	région log
Incompressible	$\frac{u u_\infty}{f}$	$\frac{\partial u^+}{\partial y^+} = 1$	$\frac{\partial u^+}{\partial y^+} = \frac{1}{K} \frac{u^*}{f} = \frac{1}{K y^*}$
Compressible	$\frac{u u_\infty}{f}$	$\frac{u}{\rho w} \cdot \frac{\partial u^+}{\partial y^+} = 1$	$\sqrt{f} \cdot \frac{\partial u^+}{\partial y^+} = \frac{1}{K u^*}$

Van-Driest transformation: $\bar{U}^* \text{ (ou } \bar{U}^{VD}) = \int_0^{\bar{U}} \frac{f_w}{\bar{U}} d\bar{U}$ (2.7)

qui vérifie alors: $\frac{\bar{U}^{VD}}{U_e} = \frac{1}{\kappa} \ln \gamma^+ + B$

Pour compléter la transformation de VD (2.7), la masse volumique doit dépendre explicitement de la vitesse \bar{U} . On utilise généralement l'intégrale de Graetz pour retrouver cette dépendance:

$$\frac{f_w}{\bar{U}} = \frac{\bar{I}}{\bar{U}_e} = 1 + \left(\left(1 + \frac{\delta-1}{2} M_e^2 \right) \frac{T_e}{T_w} - 1 \right) \frac{\bar{U}}{U_e} - \frac{\delta-1}{2} M_e^2 \frac{T_e}{T_w} \left(\frac{\bar{U}}{U_e} \right)^2$$

(indice "e" pour "extérieur".)

L'intensité de turbulence périodale $\sqrt{\bar{u}'^2}$, avec $u'_2 = \sqrt{\frac{\bar{u}^2}{\bar{U}^2}}$, diminue lorsque le M_{∞} augmente. (1.1 à $M_{\infty} = 4.7$, contre 1.8 au incompressible). Si cette intensité de turbulence périodale est rescalée par $f_w \left(\sqrt{\frac{\bar{u}^2}{\bar{U}^2}} \right)$, résultats similaires en compressible et incompressible.

Idem pour le frottement turbulent $\frac{\bar{u}'^2}{C_w}$, et les corrélations $\frac{-\bar{u}'v'}{\sqrt{\bar{u}'^2}\sqrt{\bar{v}'^2}}$.

En supersonique!

Correlations Vitesse - température: • Évidence expérimentale que les fluctuations de Ht peuvent être négligées.

• Les fluctuations de températures sont principalement isobares pour $M_{\infty} < 5$, qui conforte Strong Reynolds Analogue. $\frac{\bar{I}}{\bar{U}} = -(\delta-1) M^2 \frac{\bar{u}'}{\bar{U}}$ (Vient de $Hdt = \text{cte}$) (Monkhorst)

$$\frac{\bar{T}'}{\bar{T}} = -\frac{\bar{f}}{\bar{U}} \quad (\text{linéarisation de P'eq: débit } \bar{P}' = \bar{P} + \frac{\bar{T}'}{\bar{T}} \text{ + } \textcircled{O} \text{ isobare})$$

On en déduit: $\frac{-\bar{T}'u'}{\bar{T}\bar{U}} = \frac{\bar{f}'u'}{\bar{U}} = (\delta-1) M^2 \frac{\bar{u}'^2}{\bar{U}^2}$ ← alibi pour chambre (partie non isolée)

$$-\frac{\bar{f}'\bar{U}'}{\bar{U}\bar{T}} = \frac{\bar{f}'^2}{\bar{U}^2} = \frac{\bar{I}'^2}{\bar{U}^2} = (\delta-1) M^4 \frac{\bar{u}'^2}{\bar{U}^2}$$

Elema et Garoflio (1953)

$$\frac{\sqrt{\bar{U}^2}}{(M-1) M^2 \frac{\bar{u}'^2}{\bar{U}^2}} = \frac{1}{M}$$

$$-\frac{\bar{f}'\bar{U}'}{\bar{U}\bar{T}} = 1$$

$$-\frac{\bar{f}'^2}{\bar{U}^2} = A \left(\frac{\bar{f}}{\bar{U}} \right) \times (\delta-1) M^4 \frac{\bar{u}'^2}{\bar{U}^2}$$

(supposé: $A=1$)

clai Smith
p.70-72.

p.38

• En couche limite : "mean-density" effects, (Van-Driest permet de retrouver loi log et les fluctuations)

• En couche de mélange "compressibility"

~~Théorique~~ En présence de forts gradients de température et de vitesse, \Rightarrow génération de \dot{m} et de T élevés, ainsi que gradient de masse volumique transverse $\frac{\partial \rho}{\partial x}$.

Les niveaux d'intermittence diminuent lorsque le Mach augmente.

2.4.2: Couches de mélange et jets

Si U_c est la vitesse de convection, $T_c \sim \frac{U_c}{\Delta U}$ temps convectif, $T_d \sim \frac{\delta}{\Delta U}$ temps diffusif, avec δ échelle de diffusion (spreading).

$$\text{Équilibre des temps convectifs et diffusifs : } \frac{\delta}{x} = \beta \frac{\Delta U}{U_c} \quad \xrightarrow{\text{etc}}$$

Le taux de spreading directement lié à U_c et ΔU .

En compressible : $\frac{\delta}{x} = \beta(\delta \text{ et/ou } M) \frac{\Delta U}{U_c}$: β n'est plus constant, dépend de $\lambda = \frac{f_2}{f_1}$ et/ou de M .

- High-speed situations ; δ diminue lorsque $M \nearrow$

(couche de mélange) $\delta \searrow$ lorsque $\lambda = \frac{f_2}{f_1} \nearrow$, à M fixé (Sarkar, Pantano 2000)

- Low speed situations / - jet + lourd que l'ambiant : $\delta \searrow$ par rapport à $\rho = \rho_1$ (jets)

2.4.3: Couche de mélange.

Expansion de l'écoulement moyen : "Low speed" : étude par Brown et Roshko (JFM 1974). Papamoschou/Roshko, JFM 1988. Considérons $\frac{\Delta U}{U_1} = \frac{f_2}{f_1}$ et $r = \frac{U_2}{U_1}$ comme paramètres. Notent que :

$$\frac{d\delta_{inc}}{dx} = C_S \frac{(1-r)(1+\sqrt{s})}{1+s\sqrt{s}}$$

"inc" : "low-speed"

Des effets de Mach sont montrés plus tard (Sriyer, Salignac, 1968).

$S(x) \searrow$ lorsque $M \nearrow$ comparé à la situation incompressible, aux mêmes ΔU et $\lambda = \frac{f_2}{f_1}$

Bogdanoff (AIAA 1983) introduit alors la notion de Mach convectif : $M_c = \frac{U_1 - U_2}{a_1}$

$$\text{Si on assume } t_1 = t_2, \quad U_c = U_1 \frac{1 + 2\sqrt{\Lambda}}{1 + \sqrt{\Lambda}} = \frac{a_1 U_1 + a_2 U_2}{a_1 + a_2}$$

ainsi : $M_c = \frac{U_1 - U_2}{a_1 + a_2}$

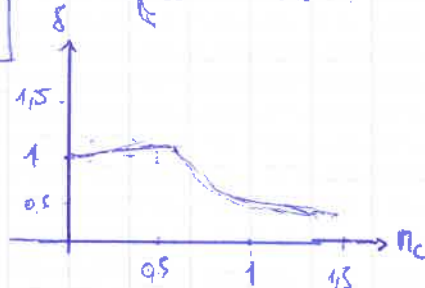
Reparamétrisation 1988, Bogdanoff 1983, Barre 1995

montrent que c'est le paramètre pertinent pour caractériser le taux d'expansion

$$\frac{s}{S_{\text{max}}} = f(M_c)$$

(Mach Peden ?)

Courbe de Langley :



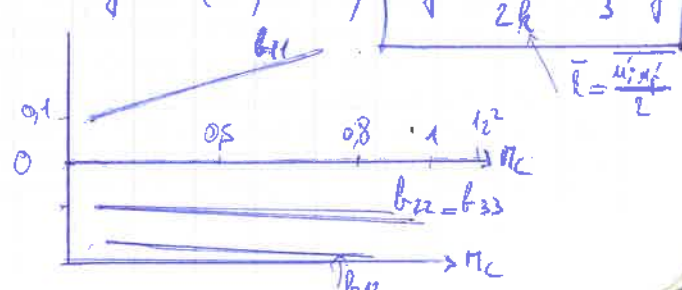
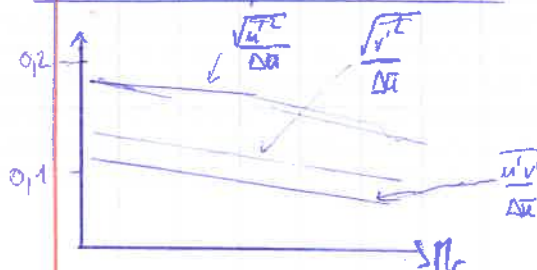
Sarkar (JFM 1995), Krieman (JFM 1995) montrent que le terme de production d'Ec a aussi un rôle important. Les effets de compressibilité purs (divergence non nulle) réduisent le terme de production d'Ec de la couche de mélange, comparé au cas solénoidal pur. En conséquence, le mélange turbulent est réduit.

La réduction du terme de production pourrait être lié au terme "pressure-strain". (Krieman, JFM 1995).

Eambon et Simone 1997 montrent que ce terme de production d'Ec reflète mal d'autres effets compressibles, comme la structure du champ de pression, ou l'anisotropie du champ de vitesse.

Enfin, Sarkar et Pantano (Banyuls, 2000) montrent que $\lambda = f(\frac{s}{M_c})$ doit être considéré en plus de M_c , pour caractériser $s(x)$. Ainsi, à $M_c = 0.7$ fixé, $s(x)$ 3 fois plus petit lorsque $s = 8$ au lieu de $s = 1$.

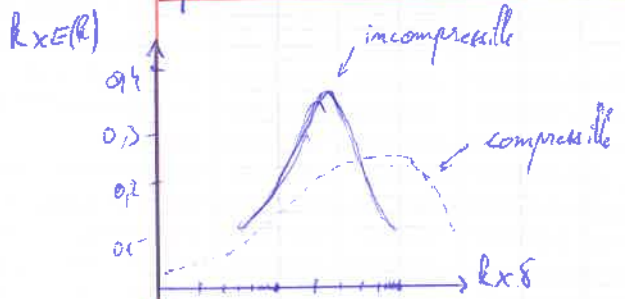
Caractéristiques turbulentes: Tenseur de Reynolds (compressible) : $b_{ij} = \frac{u_i u_j}{2k} - \frac{1}{3} S_{ij}$



p. 41

- Les niveaux max de turbulence décroissent lorsque $\text{Re} \rightarrow \infty$ (40% de réduction à $\text{Re}=0.3$)
- La réduction des termes diagonaux augmente l'anisotropie de la contrainte normale. (5 fois plus à $\text{Re}=12$ qu'en incompressible).

Spectres de turbulence en couche de mélange compressible?



← Spectre normalisé par k ($k_x E(k)$) pour illustrer la région de production d' E_k , où $E(k) \sim k^{-1}$

→ Debieve, 1997. Ces résultats dépendent du Mach compressif considéré

III Modèles pour écoulements compressibles (Pression, Helmholtz décomp, Kaysenay)

3.2 : Le rôle de la pression en turbulence compressible

3.2.1 : Pression en incompressible : équation de Poisson

Considérons tout d'abord un éclat incompressible ($\rho = \rho_0 = \text{const}$), isovolume ($\frac{\partial u_i}{\partial x_i} = 0$)
Conservation de gdm s'écrit :

$$\begin{aligned} \rho \left(\frac{\partial u_i}{\partial t} + u_j \frac{\partial u_i}{\partial x_j} \right) &= \rho F_i - \frac{\partial p}{\partial x_i} + \frac{\partial^2 c_{ij}}{\partial x_i \partial x_j} \\ \left(\frac{\partial}{\partial x_i} \right) \text{div} \quad - \frac{\partial^2 p}{\partial x_i^2} &= \rho \frac{\partial}{\partial x_i} \left(u_j \frac{\partial u_i}{\partial x_j} - F_i - \frac{1}{\rho} \frac{\partial^2 c_{ij}}{\partial x_i \partial x_j} \right) \\ - \frac{\partial^2 p}{\partial x_i^2} &= \rho \frac{\partial u_i}{\partial x_i} \frac{\partial u_i}{\partial x_i} - \rho \frac{\partial F_i}{\partial x_i} - \frac{1}{\rho} \frac{\partial^2 c_{ij}}{\partial x_i \partial x_j} \end{aligned}$$

Équation de Poisson, dont les termes sources sont l'advection, les forces volumiques et les efforts visqueux.

$$t_c \quad V = \frac{d}{F}$$

~~+ + + + + + +~~

3.2.2: Pression en écoulement compressible: L'équation d'onde généralisée:

Compressible: génération de son qui se propage à une vitesse finie (\neq incomp).

Continuité: $\frac{1}{\rho} \frac{\partial p}{\partial t} + \frac{\partial u_i}{\partial x_i} = 0$

Qdm: $\frac{\partial u_i}{\partial t} + u_j \frac{\partial u_i}{\partial x_j} = f_i - \frac{1}{\rho} \frac{\partial p}{\partial x_i} + \frac{1}{\rho} \frac{\partial z_{ij}}{\partial x_i}$

Energie: $\frac{1}{c_p} \frac{\partial s}{\partial t} = \frac{1}{\rho p} \frac{\partial p}{\partial t} - \frac{1}{\rho} \frac{\partial p}{\partial t} \quad (P = \rho RT)$

1) Qdm:

$$\cancel{\frac{\partial}{\partial x_i} \left(\frac{\partial u_i}{\partial t} + u_j \frac{\partial u_i}{\partial x_j} \right)}$$

pose $\alpha^2 = \frac{\partial p}{\rho}$

$$T_{FS} = c_v T + P_{FS} V$$

$c_v = c_p - R$

1): Prenons la divergence de l'éq° de Qdm:

$$\frac{\partial}{\partial x_i} \left(\frac{\partial u_i}{\partial t} + u_j \frac{\partial u_i}{\partial x_j} \right) = \frac{\partial}{\partial x_i} \left(F_i - \frac{1}{\rho} \frac{\partial p}{\partial x_i} + \frac{1}{\rho} \frac{\partial z_{ij}}{\partial x_j} \right)$$

Soit encore: $- \frac{\partial}{\partial x_i} \left(\frac{\alpha^2}{\rho p} \frac{\partial p}{\partial x_i} \right) = \frac{\partial}{\partial x_i} \left(\frac{\partial u_i}{\partial t} + u_j \frac{\partial u_i}{\partial x_j} - F_i - \frac{1}{\rho} \frac{\partial z_{ij}}{\partial x_j} \right) \quad (1)$

2): Combinons l'éq° d'énergie, et de continuité:

$$\frac{1}{c_p} \frac{\partial s}{\partial t} = \frac{1}{\rho p} \frac{\partial p}{\partial t} + \frac{\partial u_i}{\partial x_i}$$

Soit encore: $\left[\frac{1}{\rho p} \frac{\partial p}{\partial t} = \frac{1}{c_p} \frac{\partial s}{\partial t} - \frac{\partial u_i}{\partial x_i} \right] \quad (2) \quad \begin{array}{l} \text{material derivative} \\ \text{par rapport au temps} \end{array} : \left[\frac{1}{\rho} \frac{\partial}{\partial t} \left(\frac{1}{p} \frac{\partial p}{\partial t} \right) = \frac{\partial}{\partial t} \left(\frac{1}{c_p} \frac{\partial s}{\partial t} - \frac{\partial u_i}{\partial x_i} \right) \right]$

Sommons (2) et (1): $\frac{d}{dt} \left(\frac{1}{\rho} \frac{\partial p}{\partial t} \right) - \frac{\partial}{\partial x_i} \left(\frac{\alpha^2}{\rho p} \frac{\partial p}{\partial x_i} \right) = \frac{d}{dt} \left(\frac{\partial u_i}{\partial t} + u_j \frac{\partial u_i}{\partial x_j} - F_i - \frac{1}{\rho} \frac{\partial z_{ij}}{\partial x_j} \right) + \frac{d}{dt} \left(\frac{1}{c_p} \frac{\partial s}{\partial t} - \frac{\partial u_i}{\partial x_i} \right)$

Rappel:

$$\frac{d}{dt} \left(\frac{1}{P} \frac{dP}{dt} \right) - \frac{\partial}{\partial x_i} \left(\frac{\alpha^2}{P} \frac{\partial P}{\partial x_i} \right) = \gamma \frac{\partial}{\partial x_i} \left(\frac{\partial u_i}{\partial t} + u_j \frac{\partial u_i}{\partial x_j} - f_i - \frac{1}{P} \frac{\partial Z_{ij}}{\partial x_j} \right) + \gamma \frac{d}{dt} \left(\frac{1}{P} \frac{ds}{dt} - \frac{\partial u_i}{\partial x_i} \right)$$

Linéarisation:

$$T = P - P_0$$

$$\frac{1}{P_0} \left(\frac{d^2 P}{dt^2} - \frac{\partial}{\partial x_i} \frac{\alpha^2}{P} \frac{\partial P}{\partial x_i} \right) = \gamma \frac{\partial}{\partial x_i} \left(\frac{\partial u_i}{\partial t} + u_j \frac{\partial u_i}{\partial x_j} - f_i - \frac{1}{P} \frac{\partial Z_{ij}}{\partial x_j} \right) + \gamma \frac{d}{dt} \left(\frac{1}{P} \frac{ds}{dt} - \frac{\partial u_i}{\partial x_i} \right)$$

Équation d'onde généralisée.

Le RHS contient les termes source de bruit (transport, body forces, forces visqueuses, entropie, dilatation).

Les termes sont généralement des fonctions implicites de la pression.

Il faut, on introduit des hypothèses supplémentaires pour les découpler du champ de pression rayonnée.

3.2.3: Analogie acoustique de Lighthill (1952, 1953)

Identifie la turbulence comme une source de bruit.

Analogie entre une phénomène acoustique dans un milieu au repos, et la radiation aérodynamique dans un écoulement turbulent en mouvement.

Continuité: $\frac{\partial \rho}{\partial t} + \frac{\partial u_i}{\partial x_i} = 0$

Momentum: $\frac{\partial u_i}{\partial t} + \frac{\partial u_i u_j}{\partial x_j} = - \frac{\partial P}{\partial x_i} + \frac{\partial Z_{ij}}{\partial x_j}$

Dérivée temporelle de continuité - divergence de momentum équation 3

$$\frac{\partial^2}{\partial t^2} - \frac{\partial^2 u_i u_j}{\partial x_j \partial x_i} = \frac{\partial^2 P}{\partial x_i^2} - \frac{\partial^2 Z_{ij}}{\partial x_j \partial x_i}$$

$$\boxed{\frac{\partial^2}{\partial t^2} - \frac{\partial^2 P}{\partial x_i^2} = \frac{\partial^2 u_i u_j}{\partial x_i \partial x_j} - \frac{\partial^2 Z_{ij}}{\partial x_j \partial x_i}}$$

Considérons une vitesse a constante : $a^2 = \frac{P}{\rho} \rightarrow \rho = \frac{P}{a^2}$

Peut se réécrire formellement :

$$\left[\frac{\partial^2}{\partial t^2} \left(\rho + \frac{P}{a^2} \right) + \frac{1}{a^2} \frac{\partial^2 P}{\partial x_i^2} - \frac{\partial^2 P}{\partial x_i \partial x_j} = \frac{\partial^2 u_i u_j}{\partial x_j \partial x_i} - \frac{\partial^2 c_{ij}}{\partial x_i \partial x_j} \right] \quad (3.5)$$

ou encore :

$$\left[\frac{\partial^2 p'}{\partial t^2} - \frac{\partial^2 (P - \rho a^2)}{\partial x_i \partial x_j} - a^2 \frac{\partial^2 \rho}{\partial x_i \partial x_i} = \frac{\partial^2 u_i u_j}{\partial x_j \partial x_i} - \frac{\partial^2 c_{ij}}{\partial x_i \partial x_j} \right] \quad (3.6)$$

Les approximations de Lighthill pour les écoulements à faible nombre de Mach sont :

$p' = P - P_0$ et $\epsilon = 1/\rho_0$ reliés par : $[p' = \rho' a^2]$

On néglige les gradients de masse volumique et température, de telle sorte que : $\rho \approx \rho_0$ dans le RHS des équations.

Alors (3.5) et (3.6) se réécrivent :

$$\left[\frac{1}{c^2} \frac{\partial^2 p'}{\partial t^2} - \frac{\partial^2 \rho'}{\partial x_i \partial x_j} = \frac{\partial^2 (p_0 u_i u_j - c_{ij})}{\partial x_i \partial x_j} \right]$$

$$\left[\frac{\partial^2 p'}{\partial t^2} - c^2 \frac{\partial^2 \rho'}{\partial x_i \partial x_i} = \frac{\partial^2 (p_0 u_i u_j - c_{ij})}{\partial x_i \partial x_j} \right]$$

Équations similaires aux équations d'ondes inhomogènes pour p' et P' dans un milieu au repos. Ce qui amène à l'analogie de Lighthill :

Les fluctuations p' et ρ' dans un écoulement bas Mach peuvent être identifiées par les p' et ρ' qui ont lieu dans un écoulement uniforme acoustique au repos, modulées par les termes source : $\frac{\partial^2 T_{ij}}{\partial x_i \partial x_j}$ "milieu".

avec $T_{ij} = \rho_0 u_i u_j - c_{ij} \approx \rho_0 u_i u_j$

du fait qu'on soit bas-Mach (außer Agard)

3.3.1: Décomposition du champ de vitesse (de Helmholtz) (Batchelor, p-87)

Le champ de vitesse \vec{U} , de dilatation $\Theta = \nabla \cdot \vec{U}$, et de rotationnel $\vec{\Omega} = \vec{\nabla} \times \vec{U}$ se décompose selon :

$$\vec{U} = \vec{U}^I + \vec{U}^C + \vec{V}$$

avec \vec{V} à la fois solenoïdal et irrotationnel : $\text{div } \vec{V} = 0$ et $\text{Rot } \vec{V} = \vec{0}$ donné par les conditions limites. \vec{V} est unique pour un domaine ouvert au repos.

\vec{U}^I : contribution solenoïdale ou isovolume

$$\boxed{\text{div}(\vec{U}^I) = 0} \quad (\text{vecteur})$$

Peut être dérivée d'une fonction de courant $\vec{\psi}$, selon

$$\boxed{\vec{U}^I = \vec{\nabla} \times \vec{\psi}}$$

\vec{U}^C : contribution compressible du champ de vitesse

$$\boxed{\vec{\nabla} \times \vec{U}^C = \text{rot}(\vec{U}^C) = \vec{0}}$$

Dérivé d'un potentiel (scalaire) ϕ , selon

$$\boxed{\vec{\nabla}(\phi) = \vec{\text{grad}} \phi = \vec{U}^C}$$

On parle ainsi aussi de contribution potentielle

Cette décomposition s'applique également au champ de fluctuations u_i'

$$u_i' = u_i^I + u_i^{IC}$$

avec $\frac{\partial u_i^I}{\partial x_i} = 0$ et $\text{egk } \frac{\partial u_i^{IC}}{\partial x_j} = 0$

$$\begin{pmatrix} \frac{\partial}{\partial x} \\ \frac{\partial}{\partial y} \\ \frac{\partial}{\partial z} \end{pmatrix} \times \begin{pmatrix} u_1' \\ u_2' \\ u_3' \end{pmatrix} = \begin{pmatrix} \frac{\partial u_3'}{\partial y} - \frac{\partial u_2'}{\partial z} \\ \frac{\partial u_1'}{\partial z} - \frac{\partial u_3'}{\partial x} \\ \frac{\partial u_2'}{\partial x} - \frac{\partial u_1'}{\partial y} \end{pmatrix} = 0$$

Cette décomposition nous permet d'écrire le taux de compressibilité de la TKE:

$$X_c = \frac{\overline{u_i^c u_i^c}}{\overline{u_i' u_i'}}$$

Cai et al (POF 98) montrent que X_c peut également être utilisé en turbulence inhomogène, pour obtenir le ratio des flux scalaires dilatationnels sur les flux scalaires solénoidaux:

$$\eta = \frac{\overline{u_i^c y''}}{\overline{u_i' y''}}$$

$y'' = X - \bar{Y}$ Faure averaging de la fraction molaire

$\eta = \left(\frac{X_c}{1-X_c} \right) \times \left(\frac{\lambda^c}{\lambda^s} \right)$ avec λ^c et λ^s les échelles temporelles intégrales lagrangiennes associées aux contributions compressibles et solénoidales.

3.2.2: Décomposition du champ de pression

Le champ de pression peut se décomposer en une contribution "incompressible" Π ou "hydrodynamique", qui scale comme $\sim \rho U^2$, et une contribution "compressible" ou "thermodynamique" P , qui scale comme $P \sim \rho r T = \rho \frac{c^2}{\gamma}$

$$\left. \begin{aligned} \text{Pression hydrodynamique, incompressible: } & \Pi = \rho U^2 \\ \text{Pression compressible, thermodynamique: } & P = \rho r T = \rho \frac{c^2}{\gamma} \end{aligned} \right\} \frac{\Pi}{P} = \frac{\gamma}{\gamma-1}$$

• Considérons $\rho = \rho_0 = \text{cte}$ dans un champ solénoidal. On obtient une pression P^A "incompressible", qui satisfait équation de Poisson.

• Une pression purement acoustique P^A se propage dans un milieu au repos, selon une équation d'onde:

$$\frac{\partial^2 p^A}{\partial t^2} - \frac{1}{\rho^A} \frac{\partial^2 p^A}{\partial x^2} = \frac{\partial^2 p^A}{\partial t^2} - c^2 \frac{\partial^2 p^A}{\partial x^2} = 0$$

$$P = P^I + P^c$$

pseudo-pressure
↓
acoustique

P^c dérive d'une équation de Poisson.

Rappels: $\frac{\partial f}{\partial t} + \frac{\partial u_i}{\partial x_i} = 0$ $\frac{1}{\rho} \frac{\partial p}{\partial t} + \frac{\partial u_i}{\partial x_i} = 0 \quad (1)$

$$\frac{\partial \rho u_i}{\partial t} + \frac{\partial \rho u_i u_j}{\partial x_j} = - \frac{\partial p}{\partial x_i} + \frac{\partial z_{ij}}{\partial x_i} \quad \frac{\partial u_i + u_j \frac{\partial u_i}{\partial x_j}}{\partial t} = - \frac{1}{\rho} \frac{\partial p}{\partial x_i} + \frac{1}{\rho} \frac{\partial z_{ij}}{\partial x_i} \quad (2)$$

Eq de Poisson:
$$-\frac{\partial^2 p}{\partial x_i^2} = \rho_0 \frac{\partial u_i}{\partial x_i} \frac{\partial u_i}{\partial x_j} - \frac{\partial^2 z_{ij}}{\partial x_i \partial x_j}$$

Prenons la divergence de l'Eq. de qdm; soustrait à $\frac{\partial}{\partial t} (1)$:
(fait pour analogie de Lighthill):

$$\frac{\partial^2 p}{\partial x_i^2} = \Delta p = \frac{\partial^2 f}{\partial t^2} - \frac{\partial^2 \rho u_i u_j}{\partial x_i \partial x_j} + \frac{\partial^2 z_{ij}}{\partial x_i \partial x_j}$$

Extension de Poisson, pour densité variable
(avec z_{ij} viscos stress en densité variable)

Approximation adiabatique:

$$\Delta p - \frac{1}{c_\infty^2} \frac{\partial^2 p}{\partial t^2} = - \frac{\partial^2 \rho u_i u_j}{\partial x_i \partial x_j} + \frac{\partial^2 z_{ij}}{\partial x_i \partial x_j} \quad (3.18)$$

avec $c_\infty^2 = \frac{R \rho_0}{\rho_0}$

Assumons que par définition: $\Delta p^I = - \frac{\partial^2 \rho u_i u_j}{\partial x_i \partial x_j} + \frac{\partial^2 z_{ij}}{\partial x_i \partial x_j}$

On obtient, de (3.18), que la pression P^c compressible satisfait:

$$\Delta p^c - \frac{1}{c_\infty^2} \frac{\partial^2 p^c}{\partial t^2} = \frac{1}{c_\infty^2} \frac{\partial^2 p^I}{\partial t^2}$$

Lien P^c et P^I

3.3.3: Décomposition de pression en écoulement turbulent:

Décomposition: $U_i = \bar{U}_i + u'_i$, $P = \bar{P} + p'$; $\rho = \bar{\rho} + \rho'$, $Z_{ij} = \bar{Z}_{ij} + \delta_{ij}'$

La fluctuation de pression en écoulement turbulent s'écrit:

$$\Delta p' = \frac{\partial^2 p'}{\partial x_i^2} = -2 \frac{\partial^2 (\bar{p} \bar{u}_i \bar{u}_j)}{\partial x_i \partial x_j} - \frac{\partial^2 (\bar{p} u'_i u'_j - \bar{p}' \bar{u}_i \bar{u}_j)}{\partial x_i \partial x_j} \quad \begin{array}{l} \text{(dépend de } \bar{p}) \\ \text{dominant en incompressible} \end{array}$$

$$+ \frac{\partial^2 p'}{\partial z^2} \quad \leftarrow p' \text{ dominant en low Mach num} \quad (3.2)$$

$$\textcircled{2} \quad -2 \frac{\partial^2 (\bar{p} u'_i - \bar{p}' \bar{u}_i) \bar{u}_j}{\partial x_i \partial x_j} - \frac{\partial^2 (\bar{p} u'_i - \bar{p}' \bar{u}_i) \bar{u}_j}{\partial x_i \partial z_j} - \frac{\partial^2 (\bar{p} u'_i - \bar{p}' \bar{u}_i) \bar{u}_j}{\partial z_i \partial x_j} + \frac{\partial^2 \bar{z}_{ij}'}{\partial z_i \partial z_j}$$

↑ couplage avec z

$\Rightarrow \bar{p}$ et p' contribuent à p'

$$p' = p'^F + p'^C$$